

РАЗВИТИЕ МЕТОДОВ БЫСТРОГО ВЕЙВЛЕТ-ПРЕОБРАЗОВАНИЯ С ПОМОЩЬЮ ФИЛЬТРОВ ДОБЕШИ

Н. И. ЧЕРВЯКОВ
Ю. В. КОНДРАШОВ

*Ставропольский
военный институт
связи ракетных войск*

e-mail: yrii-fifa83@mail.ru

В работе показана возможность построения высокоэффективных вейвлет – преобразований ортогональными вейвлет – фильтрами Добеши по алгоритму Малла на базе свертки, вычисленной в системе остаточных классов.

Ключевые слова: вейвлет – преобразование, вейвлет – фильтр, вейвлет – функция, алгоритм Малла, свертка, цифровая обработка сигналов, система остаточных классов.

В настоящее время вейвлет – преобразование широко применяется в задачах обработки и кодирования сигналов и изображений самой различной природы (речь, спутниковые изображения, рентгенограммы внутренних органов и др.), распознавания образов, при изучении свойств поверхностей кристаллов и нанобъектов и во многих других случаях.

Появление в 1988 году ортогональных вейвлет-фильтров Добеши или так называемых фильтров с компактным носителем в значительной мере усилило интерес к вейвлет-анализу, т.к. открылись новые возможности не только для теоретического, но и для практического применения вейвлет-преобразования.

Важно отметить то, что вейвлет-фильтры Добеши строятся, исходя из критерия длины фильтров и, следовательно, являются фильтрами с конечным числом коэффициентов [1]. Вейвлет-функции $\psi(t)$ фильтров Добеши принято обозначать литерой D с добавлением цифры, соответствующей длине вейвлет-фильтра Добеши, т.е. $D2$, $D4$, $D6$ и т.д.

Пусть даны два фильтра h и g с ненулевыми элементами [2]:

$$\begin{aligned} h_0 &= \frac{1 + \sqrt{3}}{8}, & h_1 &= \frac{3 + \sqrt{3}}{8}, & h_2 &= \frac{3 - \sqrt{3}}{8}, & h_3 &= \frac{1 - \sqrt{3}}{8}; \\ g_0 &= \frac{1 - \sqrt{3}}{8}, & g_1 &= -\frac{3 - \sqrt{3}}{8}, & g_2 &= \frac{3 + \sqrt{3}}{8}, & g_3 &= -\frac{1 + \sqrt{3}}{8}. \end{aligned} \quad (1)$$

Отметим соотношения между коэффициентами этих фильтров [2]:

$$\begin{aligned} h_0 + h_1 + h_2 + h_3 &= 1; \\ g_0 + g_1 + g_2 + g_3 &= 0; \\ g_0 = h_3, & g_1 = -h_2, & g_2 = h_1, & g_3 = -h_0; \\ h_0 + h_2 &= h_1 + h_3 = 1/2, & 2h_2 &= h_1 + 3h_3. \end{aligned} \quad (2)$$

Найдём передаточные функции $H(z)$ и $G(z)$ в z -представлении:

$$H(z) = h_0 + h_1 z + h_2 z^2 + h_3 z^3; \quad (3)$$

$$\begin{aligned} G(z) &= g_0 + g_1 z + g_2 z^2 + g_3 z^3 = h_3 - h_2 z + h_1 z^2 - h_0 z^3 = \\ &= -z^3 (-h_3 z^{-3} + h_2 z^{-2} - h_1 z^{-1} + h_0) = -z^3 H(-z^{-1}). \end{aligned} \quad (4)$$

Таким образом, мы получили

$$G(z) = -z^3 H(-z^{-1}). \quad (5)$$



Для восстановления сигнала требуются дополнительные фильтры $\tilde{H}(z)$ и $\tilde{G}(z)$. Определим их как сопряжённые квадратурные фильтры по формулам:

$$\tilde{H}(z) = H(z^{-1}), \quad \tilde{G}(z) = G(z^{-1}) = -z^{-3}H(-z) \tag{6}$$

Тогда второе соотношение $\tilde{H}(z)H(-z) + \tilde{G}(z)G(-z) = 0$ из (3-4) выполняется. Первое соотношение $\tilde{H}(z)H(z) + \tilde{G}(z)G(z) = 1$ принимает вид:

$$H(z^{-1})H(z) + G(z^{-1})G(z) = 1. \tag{7}$$

Вернёмся к частотной переменной $z = e^{-i\omega}$. Поскольку коэффициенты $\{h_n\}$ – вещественные, то $H(z^{-1}) = \overline{H(\omega)}$. Поэтому последнее соотношение принимает вид $|H(\omega)|^2 + |G(\omega)|^2 = 1$.

Найдём коэффициенты фильтров восстановления $\tilde{H}(z)$ и $\tilde{G}(z)$ из их определения $\tilde{H}(z) = H(z^{-1}), \tilde{G}(z) = G(z^{-1})$:

$$\begin{aligned} \tilde{h}_{-3} &= \frac{1-\sqrt{3}}{8}, & \tilde{h}_{-2} &= \frac{3-\sqrt{3}}{8}, & \tilde{h}_{-1} &= \frac{3+\sqrt{3}}{8}, & \tilde{h}_0 &= \frac{1+\sqrt{3}}{8}; \\ \tilde{g}_{-3} &= -\frac{1+\sqrt{3}}{8}, & \tilde{g}_{-2} &= \frac{3+\sqrt{3}}{8}, & \tilde{g}_{-1} &= -\frac{3-\sqrt{3}}{8}, & \tilde{g}_0 &= \frac{1-\sqrt{3}}{8}. \end{aligned} \tag{8}$$

Таким образом, метод одномерного дискретного вейвлет – преобразования (ДВП) N -го порядка последовательности x_n определяется следующими рекуррентными соотношениями:

$$\begin{aligned} a_n^{(i)} &= \sum_{k=0}^{N-1} g_k a_{2n-k}^{(i-1)} \quad i = 1, 2, \dots, J; \\ d_n^{(i)} &= \sum_{k=0}^{N-1} h_k a_{2n-k}^{(i-1)} \quad a_n^{(0)} \equiv x_n, \end{aligned} \tag{9}$$

где $a_n^{(i)}$ и $d_n^{(i)}$ являются аппроксимирующими и детализирующими коэффициентами i -го уровня, а g_k и h_k ($k = 0, 1, \dots, N-1$) – коэффициенты низкочастотного и высокочастотного анализирующих фильтров, соответственно.

С другой стороны, сигнал x_n может быть восстановлен по коэффициентам $\{a_n^{(J)}, d_n^{(J)}, a_n^{(J-1)}, \dots, a_n^{(1)}\}$ путём последовательной итерации по формулам:

$$\tilde{a}_m^{(i-1)} = \begin{cases} \sum_{k=0}^{N/2-1} \tilde{g}_{2k} \tilde{a}_{\frac{m}{2}-k}^{(i)} + \sum_{k=0}^{N/2-1} \tilde{h}_{2k} \tilde{d}_{\frac{m}{2}-k}^{(i)}, & m \text{ чётное} \\ \sum_{k=0}^{N/2-1} \tilde{g}_{2k+1} \tilde{a}_{\frac{m-1}{2}-k}^{(i)} + \sum_{k=0}^{N/2-1} \tilde{h}_{2k+1} \tilde{d}_{\frac{m-1}{2}-k}^{(i)}, & m \text{ нечётное} \end{cases} \tag{10}$$

где \tilde{g}_k и \tilde{h}_k являются коэффициентами низкочастотного и высокочастотного синтезирующих фильтров, соответственно.

Для того, чтобы восстановленный сигнал соответствовал исходному, должны быть соответствующим образом подобраны анализирующий (раскладывающий) и синтезирующий (собирающий) фильтры.

Для вейвлет-преобразования функции $f(x)$ необходимо вычислить серию коэффициентов $\{a_n, d_n, a_{n-1}, \dots, d_1\}$, где a_n – аппроксимация функции, d_i – детализирующие коэффициенты функции, $i = 1, \dots, n$. Каждый коэффициент находится интегрированием (11, 12):



$$a_{J-N,k} = (f, \varphi_{J-N,k}) = \int_R f(x) \overline{\varphi_{J-N,k}(x)} dx; \tag{11}$$

$$d_{J-m,k} = (f, \psi_{J-m,k}) = \int_R f(x) \overline{\psi_{J-m,k}(x)} dx, \quad m = 1, 2, \dots, N. \tag{12}$$

Возникает проблема вычисления большого количества интегралов с необходимой точностью. Следует также учитывать, что при высоком уровне разрешения J носители функций $\varphi_{J,k}(x)$ и $\psi_{J,k}(x)$ становятся малыми порядка $1/2^J$.

Быстрое вейвлет-преобразование, предложенное Мала позволяет решить эту проблему. Алгоритм Малла даёт возможность вычислять коэффициенты вейвлет-разложения без интегрирования, используя алгебраические операции на основе свёртки:

$$\begin{aligned} a_n^{(i)} &= \sum_{k=0}^{N-1} g_k a_{2n-k}^{(i-1)} \quad i = 1, 2, \dots, J; \\ d_n^{(i)} &= \sum_{k=0}^{N-1} h_k a_{2n-k}^{(i-1)} \quad a_n^{(0)} \equiv x_n, \end{aligned} \tag{13}$$

где $a_n^{(i)}$ и $d_n^{(i)}$ являются аппроксимирующими и детализирующими коэффициентами i -го уровня, а g_k и h_k ($k = 0, 1, \dots, N - 1$) – коэффициенты низкочастотного и высокочастотного анализирующих фильтров, соответственно; x_n – исходный сигнал; N – порядок фильтра.

Эти равенства обеспечивают быстрые алгоритмы вычисления вейвлет-коэффициентов (каскадные алгоритмы, алгоритмы Малла). Термин «быстрые» означает не только, что в (13) используются более быстрые алгебраические процедуры, но и то, что при каждом преобразовании общее число новых коэффициентов не увеличивается в два раза, а остаётся прежним.

Схема разложения сигнала по алгоритму Малла приведена на рис. 1.

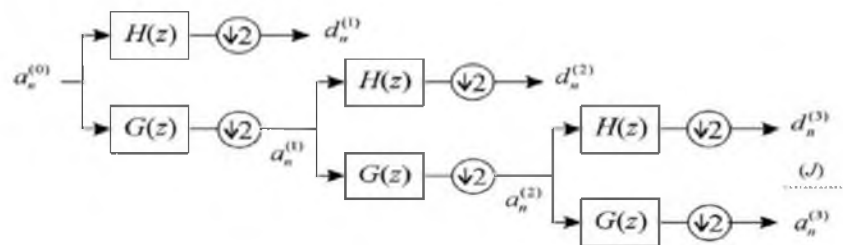


Рис. 1. Последовательность получения вейвлет-коэффициентов третьей октавы; $H(z)$ и $G(z)$, соответственно, высокочастотные и низкочастотные анализирующие фильтры в Z -представлении

Единственное отличие фильтрации в алгоритме Малла от классического КИХ-фильтра, задаваемого уравнением $y(k) = \sum_{i=0}^m b_i x(k-i)$ [3], заключается в том, что значения фильтруемого ряда выбираются через один – индекс $2n - k$ в $a_{2n-k}^{(i-1)}$. Это и есть децимация $2 \downarrow$ – исключение из обработки каждого второго элемента.

Для двумерных сигналов – изображений – алгоритм разложения аналогичен тому, что применяется в одномерном случае (13). Пусть $\varphi(x)$ – масштабирующая вейвлет-функция и $\psi(x)$ – материнский вейвлет. Как известно, они порождают ба-



численные функции $\varphi_{J,n}(x)$ и $\psi_{J,k}(x)$. Двумерный сигнал $a(n_1, n_2)$ раскладывается по базисным в $L^2(\mathbf{R}^2)$ функциям $\varphi_{J,n}(x)\varphi_{J,m}(y)$, $\varphi_{J,n}(x)\psi_{J,m}(y)$, $\psi_{J,n}(x)\varphi_{J,m}(y)$ и $\psi_{J,n}(x)\psi_{J,m}(y)$. Соответствующие коэффициенты принято называть следующим образом.

Аппроксимирующие коэффициенты $a^{(J)}(n_1, n_2)$ получаются как коэффициенты разложения по вейвлет-базису $\varphi_{J,n}(x)\varphi_{J,m}(y)$. На рис. 2 (а) показано распределение пикселей после пошаговой обработки исходного изображения банком фильтров.

Горизонтальные детализирующие коэффициенты $d_2^{(J)}(n_1, n_2)$ получаются как коэффициенты разложения по вейвлет-базису $\varphi_{J,n}(x)\psi_{J,m}(y)$.

Вертикальные детализирующие коэффициенты $d_1^{(J)}(n_1, n_2)$ получаются как коэффициенты разложения по вейвлет-базису $\psi_{J,n}(x)\varphi_{J,m}(y)$.

Диагональные детализирующие коэффициенты $d_3^{(J)}(n_1, n_2)$ получаются как коэффициенты разложения по вейвлет-базису $\psi_{J,n}(x)\psi_{J,m}(y)$.

Схема разложения сигнала $a^0(n_1, n_2)$ изображена на рис. 2 (б).

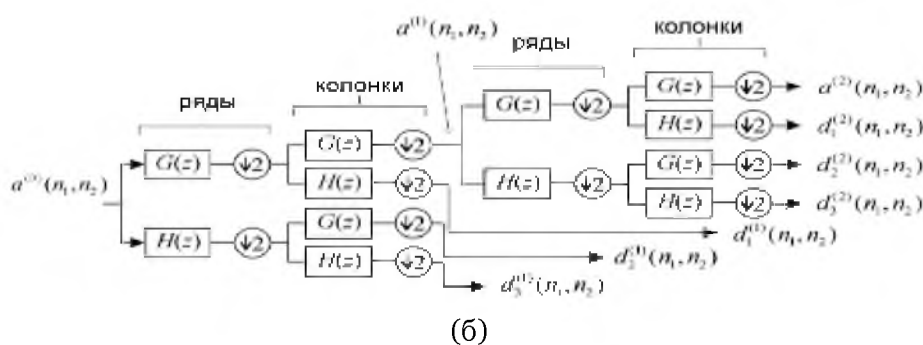
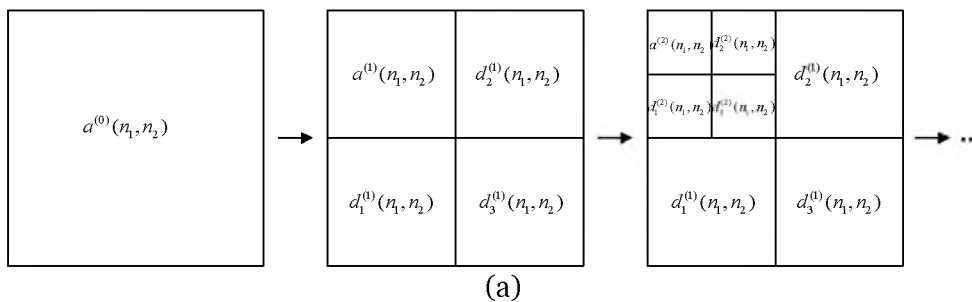


Рис. 2. Последовательность получения вейвлет-коэффициентов третьей октавы для двумерного сигнала: (а) –распределение пикселей после пошаговой обработки исходного изображения банком фильтров; (б) – в виде последовательности фильтров; $H(z)$ и $G(z)$, соответственно, высокочастотные и низкочастотные анализирующие фильтры в Z -представлении

В аналитическом виде разложение двумерного сигнала фильтрами можно записать следующим образом:



$$\begin{aligned}
 a^{(i+1)}(n_1, n_2) &= \sum_{k_1=0}^{N-1} \sum_{k_2=0}^{N-1} g(k_1) g(k_2) a^{(i)}(2n_1 - k_1, 2n_2 - k_2); \\
 d_1^{(i+1)}(n_1, n_2) &= \sum_{k_1=0}^{N-1} \sum_{k_2=0}^{N-1} g(k_1) h(k_2) a^{(i)}(2n_1 - k_1, 2n_2 - k_2); \\
 d_2^{(i+1)}(n_1, n_2) &= \sum_{k_1=0}^{N-1} \sum_{k_2=0}^{N-1} h(k_1) g(k_2) a^{(i)}(2n_1 - k_1, 2n_2 - k_2); \\
 d_3^{(i+1)}(n_1, n_2) &= \sum_{k_1=0}^{N-1} \sum_{k_2=0}^{N-1} h(k_1) h(k_2) a^{(i)}(2n_1 - k_1, 2n_2 - k_2).
 \end{aligned} \tag{14}$$

В качестве собственно фильтров могут использоваться фильтры Добеши D4 четвёртого порядка. Вейвлеты Добеши являются вейвлетами с компактным носителем, что обеспечивает хорошие свойства приближения вейвлет-разложений. Они не имеют эксплицитного (явного) выражения, а задаются коэффициентами фильтрации. Анализирующие (разлагающие) высокочастотные (h) и низкочастотные (g) коэффициенты фильтра Добеши D4 задаются следующими коэффициентами [2]:

$$\begin{aligned}
 h_0 &= \frac{1 + \sqrt{3}}{4\sqrt{2}}, & h_1 &= \frac{3 + \sqrt{3}}{4\sqrt{2}}, & h_2 &= \frac{3 - \sqrt{3}}{4\sqrt{2}}, & h_3 &= \frac{1 - \sqrt{3}}{4\sqrt{2}}; \\
 g_0 &= \frac{1 - \sqrt{3}}{4\sqrt{2}}, & g_1 &= -\frac{3 - \sqrt{3}}{4\sqrt{2}}, & g_2 &= \frac{3 + \sqrt{3}}{4\sqrt{2}}, & g_3 &= -\frac{1 + \sqrt{3}}{4\sqrt{2}}.
 \end{aligned} \tag{15}$$

Графики вейвлетов Добеши D4 (db4) в среде MATLAB можно увидеть следующим образом (рис. 3):

```

[phi,psi,x]=wavfun('db4',10);
subplot(121); plot(x,phi);
title('y=\phi(x)'); axis square; grid on;
subplot(122); plot(x,psi);
title('y=\psi(x)'); axis square; grid on;

```

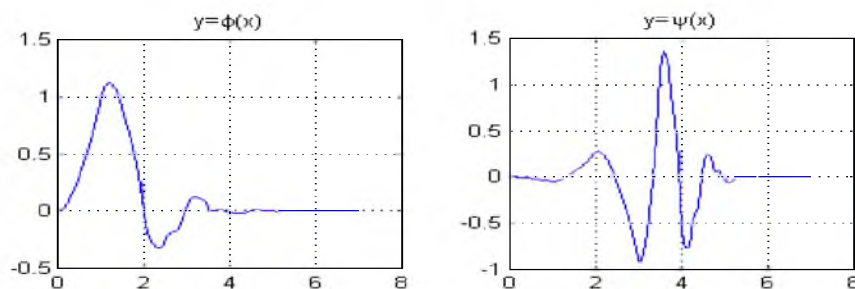


Рис. 3. Масштабирующая вейвлет-функция и материнский вейвлет Добеши D4

С целью повышения скорости вычисления свертки (13) предлагается её вычислять в системе остаточных классов, тогда выбирая модуль p ; свертка может быть выражена как:

$$\begin{aligned}
 a_n^{(i)} &= \left| \sum_{k=0}^{N-1} g_k a_{2n-k}^{(i-1)} \right|_{p_i} & i=1, 2, \dots, J, \\
 d_n^{(i)} &= \left| \sum_{k=0}^{N-1} h_k a_{2n-k}^{(i-1)} \right|_{p_j} & a_n^{(0)} \equiv x_n.
 \end{aligned} \tag{16}$$



Система остаточных классов и модулярные вычисления являются практически идеальным инструментом реализации линейной свертки, поскольку операции сложения, вычитания и умножения выполняются очень просто, а именно, если даны два числа A и B , представленные в системе остаточных классов (с набором взаимно простых оснований m_1, m_2, \dots, m_L) следующим образом:

$$\begin{aligned} A &= (a_1, a_2, \dots, a_L) : A \equiv a_1 \pmod{m_1}, A \equiv a_2 \pmod{m_2}, \dots, A \equiv a_L \pmod{m_L}, \\ B &= (b_1, b_2, \dots, b_L) : B \equiv b_1 \pmod{m_1}, B \equiv b_2 \pmod{m_2}, \dots, B \equiv b_L \pmod{m_L} \end{aligned} \quad (17)$$

то

$$A \pm B = (a_1, a_2, \dots, a_L) \pm (b_1, b_2, \dots, b_L) = (|a_1 \pm b_1|_{m_1}, |a_2 \pm b_2|_{m_2}, \dots, |a_L \pm b_L|_{m_L}) \quad (18)$$

и

$$A \cdot B = (a_1, a_2, \dots, a_L) \cdot (b_1, b_2, \dots, b_L) = (|a_1 \cdot b_1|_{m_1}, |a_2 \cdot b_2|_{m_2}, \dots, |a_L \cdot b_L|_{m_L}) \quad (19)$$

Математические модели (17-19) вычисляются на основе использования нейронных сетей конечного кольца [3], число которых определяется рядом каналов по числу оснований, работающих независимо друг от друга и параллельно во времени. Если каждую нейронную сеть конечного кольца отождествить с отдельным основанием системы остаточных классов, то образованная совокупность каналов будет представлять собой арифметическое устройство выполняющее с большой эффективностью вейвлет – преобразование сигналов.

Итак, система остаточных классов является наиболее подходящей технологией для реализации высокоэффективного вейвлет – преобразования для задач цифровой обработки сигналов.

Для эффективной реализации операций вейвлет – преобразования по алгоритму Малла на основе свертки предлагается использовать математическую модель вычислительного объекта, оперирующую числами, представленными в системе остаточных классов.

Литература

1. Добеши И. Десять лекций по вейвлетам. – М.: Ижевск: РХД, 2001.
2. Daubechies I. The Wavelet Transform, Time-Frequency Localization and Signal Analysis // IEEE Trans. Inform. Theory, 1990, № 5. P. 961-1005.
3. Червяков Н. И., Сахнюк П. А., Шапошников А. В., Макоха А. Н. Под редакцией А. И. Галущкина. Учебное пособие для ВВУЗов. – М.: Радиотехника, 2003. – 272 с.
4. Сергиенко А.Б. Цифровая обработка сигналов. – СПб.: Питер, 2003. – 604 с.
5. Астафьева Н.М. Вейвлет-анализ: основы теории и некоторые приложения // Успехи физических наук, 1996, № 11. С. 1145-1170.
6. Goswami J.C., Chan A.K. Fundamentals of Wavelets. Theory, Algorithms, and Applications. Wiley, 2000. – 306 p.
7. Прокис Дж. Цифровая связь. – М.: Радио и связь, 2000. – 800 с.
8. Желудев В.А. О вейвлетах на базе периодических сплайнов // Докл. РАН, 1994, № 1. С. 9-13.
9. Новиков Л.В. Основы вейвлет-анализа сигналов. Учебное пособие. – СПб., 1999. – 152 с.

DEVELOPMENT OF METHODS FAST WAVELET-TRANSFORMATION BY MEANS OF FILTERS DOBESHI

N. I. CHERVYKOV
Y. V. KONDRASHOV

*Stavropol military
institute of communication
of rockets armies*

e-mail: yrii-fifa83@mail.ru

In work possibility of construction highly effective wavelet – transformations orthogonal wavelet – filters Dobeshi on algorithm of Mull on the basis of the convolution calculated in system of residual classes is shown.

Key words: wavelet – transformation, wavelet – the filter, wavelet – functions, algorithm of Mull, convolution, system of residual classes, digital processing of signals.